SCR 气氛下 Ce-W/TiO2 催化剂的脱硝协同脱汞特性

耿新泽,段钰锋*,胡 鹏,柳 帅,梁 财 (东南大学能源与环境学院,能源热转换及其过程测控教育部重点实验室,江苏南京 210096)

关键词: Ce-W/TiO₂; Hg⁰ 脱除; 脱硝; 温度; 烟气组分

中图分类号: X701.7 文献标识码: A 文章编号: 1000-6923(2019)04-1419-08

Characteristics of denitrification and mercury removal of Ce-W/TiO₂ catalysts in SCR atmosphere. GENG Xin-ze, DUAN Yu-feng*, HU Peng, LIU Shuai, LIANG Cai (Key Laboratory of Energy Thermal Conversion and Control of Ministry of Education, School of Energy and Environment, Southeast University, Nanjing 210096, China). *China Environmental Science*, 2019,39(4): 1419~1426

Abstract: The effects of reaction temperature and flue gas composition on the denitrification and mercury removal efficiency of Ce-W/TiO₂ (Ce: W=2:1) catalysts were investigated in a fixed bed reactor. The results showed that the reaction temperature had a significant effect on the denitrification and mercury removal efficiency of Ce-W/TiO₂. In the temperature range of $280\sim400^{\circ}\text{C}$, the denitration efficiency increased as temperature increased, while the mercury removal efficiency was higher at temperature 280°C and 360°C , with the best denitrification and mercury removal efficiency at 360°C . In the SCR atmosphere, HCl had a great effect on the oxidative removal of Hg⁰. Low concentration of HCl was also beneficial to the improvement of denitration efficiency, but excessive HCl concentration had an inhibitory effect on NO removal. The presence of SO₂ could promote the denitrification process and inhibit the oxidation of Hg⁰. The catalysts before and after the reaction were characterized by BET, XRD, SEM, TPD, XRF, NH₃-TPD and other analytical methods. The results showed that Ce-W/TiO₂ had no microporous structure, and the active components CeO₂ and WO₃ were distributed on the surface of the carrier in a highly dispersed form. At 280°C , part of Hg was adsorbed on the surface of the catalyst in the form of HgCl₂. As the reaction temperature increased, the adsorption of mercury on the surface of the catalyst decreased sharply. HCl and SO₂ in SCR atmosphere could affect the acidity of catalyst surface and increase the content of Cl and S, thus, affect the denitration and mercury removal efficiency of the catalyst.

Key word: Ce-W/TiO₂; Hg⁰ removal; denitrification; temperature; gas component

我国是世界上最大的煤炭生产国与消费国,其中电力行业的煤炭消耗量占总量的 51%,燃煤电站已成为最大的人为汞排放源,是大气中氮氧化物(NO_x)的主要来源^[1].NO_x 是酸雨形成的重要前驱物,对环境造成严重破坏;重金属汞(Hg)是一种有毒物质,可以在生物体内和食物链中永久积累,对人类的健康存在较大威胁^[2].近年来,我国高度重视燃煤烟气中 NO_x 和汞排放的控制并颁布了一系列标准:我国"十三五"规划中规定了 NO_x 的超低排放浓度为50mg/m^{3[3]},正在实施的《火电厂大气污染物排放标准(GB 13223—2011)》^[4]首次规定了燃煤电厂汞的

排放限值为 30μg/m³.2015 年 12 月 1 日开始施行的 上海环保局《大气污染物综合排放标准(DB31/933-2015)》^[5]规定,自 2017 年 1 月 1 日起,全面执行 汞及其化合物排放限值 0.01mg/m³.因此,对燃煤电 厂锅炉和工业锅炉进行协同脱汞技术的需求也日 趋强烈

燃煤烟气中汞主要以 3 种形式存在:零价汞

收稿日期: 2018-09-25

基金项目: 国家重点研发计划(2016YFC0201105);国家自然科学基金资助项目(51876039,51576044)

* 责任作者, 教授, yfduan@seu.edu.cn

 (Hg^0) 、二价汞 (Hg^{2+}) 和颗粒态汞 (Hg^p) ,其中, (Hg^0) 占烟气中总汞的 70%以上 $^{[6]}$.目前,选择性催化还原法 (SCR)是最成熟、应用最广泛的烟气脱硝技术 $^{[8]}$.研究表明 $^{[8-10]}$,SCR 不仅可有效控制 NO_x 的排放,还能将含量高且难以去除的元素汞 (Hg^0) 氧化成易溶于水的化合态汞 $(Hg^{2+})^{[11]}$,再经后续的湿法烟气脱硫装置(WFGD)去除 $^{[12]}$.

V-Ti-W 催化剂在 170~350℃ 温度区间内对汞 有良好的氧化效果,烟气中的 NO,HCl 和 O2可增强 催化剂对汞的氧化能力,而 SO₂则有抑制作用^[13].对 于 Mo-Mn/TiO₂催化剂,NH₃对 Hg⁰的氧化存在抑制 作用[14],HCl 有利于 Hg⁰ 的氧化,但会阻碍脱硝反应 的进行,而 SO₂ 对脱硝 Hg⁰ 氧化均起到抑制作 用[14-15].Ti-Al/Ce 纳米催化剂在同时脱硝脱汞烟气 条件下仍然表现出相对较高的脱汞效率,NO 对 Hg⁰ 氧化能力有轻微抑制作用,而 NH, 具有明显的抑制 作用[16].CuO/HZSM-5 有较高的联合脱硝和脱汞性 能, SO₂对汞和氮氧化物的脱除有抑制作用[17].Ce基 催化剂以其优良的脱硝性能、N2选择性低廉的价格 和无毒无害等优势在 SCR 的应用上具有很大的潜 力^[18-19]. Li 等^[9]发现 CeO₂/TiO₂对 Hg⁰有很好的氧化 能力, N_2+O_2 气氛下 HC1或 SO_2 的引入均对 Hg^0 氧化 效果有促进作用,但在SCR气氛下(NO+NH3)其脱硝 协同 Hg⁰ 氧化能力研究较少,温度以及烟气组分对 Hg⁰ 氧化过程影响机理尚不明确.W 元素的引入不 仅能够提高NH3-SCR催化剂的催化活性及N2选择 性,还可以提高 SCR 催化剂的抗硫性^[20-21].

本文选用一种 $Ce/W-TiO_2$ 催化剂(物质的量比 Ce:W=2:1)在模拟 $SCR(NO+NH_3)$ 烟气气氛下,研究 温度以及 HCl、 SO_2 对其脱硝效率以及 Hg^0 氧化率 特性的影响.

1 实验方法

1.1 催化剂的制备

采用浸渍法制备 Ce/W-TiO₂ 催化剂:按 5:1 的质量比将 Ce(NO₃)₃·6H₂O(国药集团化学试剂有限公司,分析纯)与(NH₄)₁₀H₂(W₂O₇)₆ (国药集团化学试剂有限公司,分析纯)溶于去离子水中并磁力搅拌 20min配成溶液,再加入对应质量的纳米级商业TiO₂(Degussa P25)粉末,继续搅拌4h使其充分混合,将过滤后所得样品置于105℃的烘箱中烘干,然后在

500℃、空气气氛下煅烧 5h.最后将煅烧后的样品研磨、筛分至 80~100 目,存放于干燥箱中备用.

1.2 催化剂表征

催化剂样品的比表面积和孔隙结构采用ASAP2020M 比表面积及孔容分析仪(美国Micromeritics 公司)测定;不同反应温度下催化剂的表面晶体结构采用德国BRUKER 公司的D8ADVANCE X 射线衍射仪(XRD)测定;不同气氛反应前后催化剂表面化学元素采用型号为ARLQUANTX的 X 射线荧光光谱分析仪(XRF)测定;样品表面微观形貌采用日本生产的S4800冷场发射扫描电镜(SEM)测定.NH $_3$ -TPD 采用日本BEL公司BEL-CAT-B测定,首先在 N_2 气氛下将50mg的样品350°C预处理 1h,待温度降至 100°C时通入 NH_3 ,待达到吸附平衡后停止 NH_3 的通入,然后用 N_2 吹扫,除去物理吸附的 NH_3 .最后将 NH_3 吸附饱和的催化剂样品从 150°C以 10°C/min 的速率程序升温至 650°C.

1.3 固定床实验系统

固定床催化反应实验系统如图 1 所示:主要由配气及流量控制器(MFC)、汞蒸汽发生器、高硼硅管路、预热混气装置、固定床吸附反应装置、温控仪表、汞浓度在线测量仪、傅里叶红外烟气分析仪及尾气净化装置组成.通过汞渗透管(VICI Metronics,美国)产生恒定浓度的汞蒸汽,由高纯N₂携带进入高硼硅管路系统,与考察气体(O₂,NO,NH₃,HCl,SO₂)和平衡N₂充分预热混合后进入固定床反应器发生催化反应.反应后的气体进入 VM-3000 在线测汞仪(Mercury Instrument,德国)测量汞浓度,进入傅里叶红外烟气分析仪分析气体组分,尾气经活性炭净化处理后排出.

固定床穿透实验条件:载汞 N_2 流量 200mL/min,总气量为 2L/min,反应层质量 60mg,高度 3mm,探究温度与烟气组分对该催化剂脱硝协同脱汞效率的影响规律,为保证实验数据的可靠性,每次实验开始前均进行空白床 Hg^0 浓度标定.

实验工况如表 1 所示,烟气主要组分为 5%的 O_2 、 $400\times10^{-6}NO$ 、 $400\times10^{-6}NH_3$,由平衡氮气补足总气量.工况 1~4的变量为固定床催化温度,分别为 280, 320,360,400 \mathbb{C} .工况 5~9 为固定床催化温度恒定 $360\mathbb{C}$ 不变,HCl 浓度分别为 $0,10,20,30\times10^{-6}$,工况 9 为在工况 3 的基础上加入 $600\times10^{-6}SO_2$.各工况入口 汞浓度恒定,维持在 $83.1\sim86.6\mu g/m^3$ 范围内.

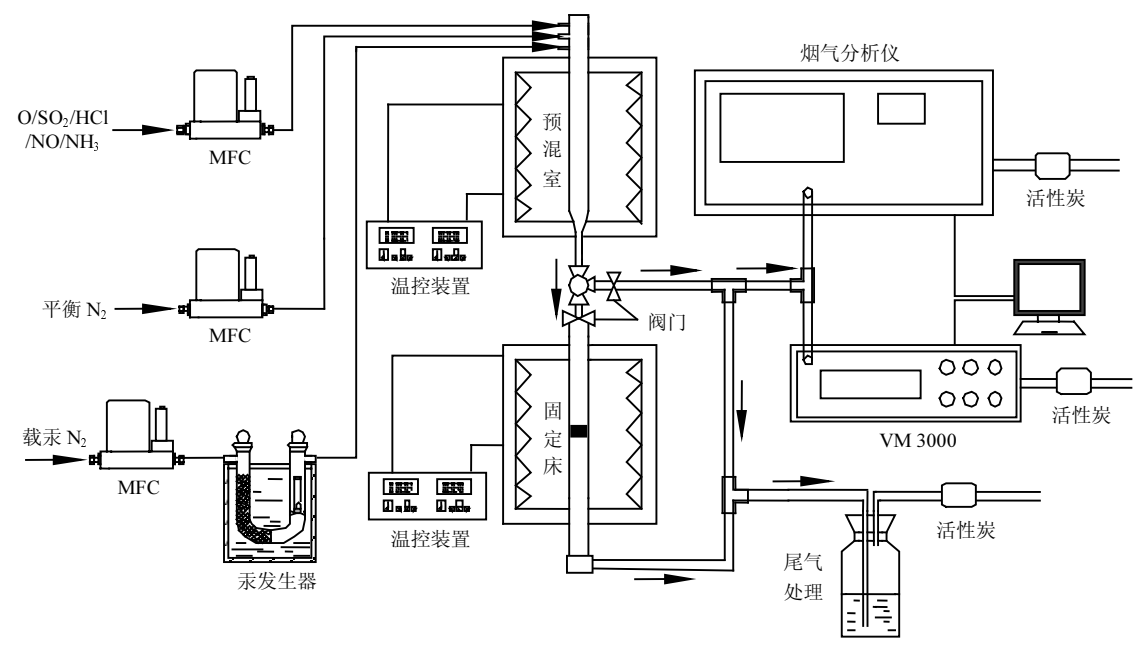


图 1 固定床催化反应实验系统

Fig.1 Fixed bed reactor system

表 1 实验工况

Table 1 Experimental condition

工况	温度 (℃)	入口汞浓度 (μg/m³)	O ₂ 浓度 (%)	N ₂ 浓度 (%)	NO 浓度 (×10 ⁻⁶)	NH₃浓度 (×10 ⁻⁶)	HCL 浓度 (×10 ⁻⁶)	SO ₂ 浓度 (×10 ⁻⁶)
1	280	86.6	5	94	400	400	3	0
2	320	86.1	5	94	400	400	3	0
3	360	86.2	5	94	400	400	3	0
4	400	85.4	5	94	400	400	3	0
5	360	85.1	5	94	400	400	0	0
6	360	84.5	5	94	400	400	10	0
7	360	83.9	5	94	400	400	20	0
8	360	85.3	5	94	400	400	30	0
9	360	83.1	5	94	400	400	3	600

1.4 程序升温汞脱附装置

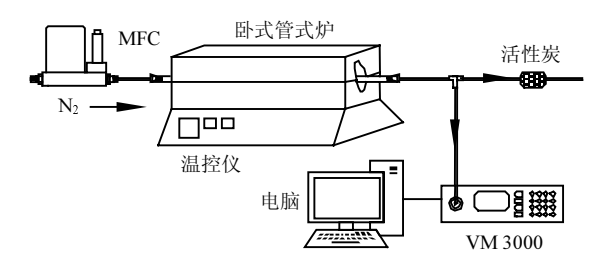


图 2 固定床程序升温汞脱附实验系统

Fig.2 Programmed temperature mercury desorption system

不同反应温度下催化剂汞吸附形态采用固定 床程序升温汞脱附装置(TPD)测定(图 2).主要由卧 式管式炉、PIC 温控系统和 VM3000 在线测汞仪等 组成.实验过程中用氮气作为载气,脱附样品质量为 35mg,总气量 1L/min,热解出的气态 Hg 由氮气携带进入 VM3000 测汞仪,升温速率通过 PIC 控制,设定为 10℃/min.

1.5 催化剂活性评价方法

 $Ce-W/TiO_2$ 的汞脱除能力以及脱硝效果的评价指标分别采用脱汞效率 η_{Hg} 和脱硝效率 η_{NO} 来衡量,计算方法如下式(1)~(2)所示:

$$\eta_{\rm Hg} = \frac{C_{\rm Hg1} - C_{\rm Hg2}}{C_{\rm Hg1}} \times 100\% \tag{1}$$

$$\eta_{\text{NO}} = \frac{C_{\text{NO1}} - C_{\text{NO2}}}{C_{\text{NO1}}} \times 100\%$$
 (2)

式中: C_{Hg1} 为固定床入口汞浓度, $\mu g/m^3$; C_{Hg2} 为固定床出口汞浓度, $\mu g/m^3$; C_{NO1} 为固定床入口 NO 浓度,× 10^{-6} ; C_{NO2} 为固定床出口 NO 浓度,× 10^{-6} .

2 结果与讨论

2.1 催化剂物化特性

2.1.1 孔隙结构 Ce^-W/TiO_2 催化剂 BET 表征结果为:催化剂比表面积为 $78.433m^2/g$,总孔容积为 $0.303cm^3/g$,平均孔径为 37.343nm,最小孔径为 3.286nm.该催化剂孔隙结构主要由中孔与大孔组成且无微孔存在,吸附能力较弱^[22].

2.1.2 XRD 表征 结果如图 3 所示,催化剂反应前 后各样品 XRD 图谱中均能观察到典型的锐钛矿相 TiO_2 衍射峰,而归属于 CeO_2 的衍射峰(衍射角 2θ 为 28.7°)和 WO₃的衍射峰(衍射角 2θ为 24.2°)都没有 出现.当氧化物含量低于某一阈值时,在催化剂表面 呈单层分散状态,高于此阈值后才会出现晶相[23], 说明催化剂的活性组分 CeO₂ 和 WO₃ 在催化剂表 面并未发生团聚现象,这也表明 CeO2和 WO3是以 高度分散的形式和小于 XRD 检测限而无法检测到 的团簇形式存在于载体表面,其单层分布的微观结 构良好.反应后催化剂 XRD 图谱的峰型没有发生 明显的变化,说明在各个温度下该催化剂担载体的 晶型以及活性组分的分布并未被破坏,但是其各峰 值明显低于原样,是由于反应后 NH₃、NO、Hg、 CI 等附着于催化剂表面,致使可检测晶型减少导致 波峰降低.

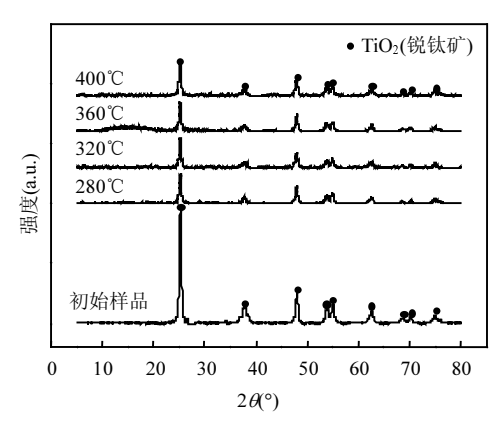
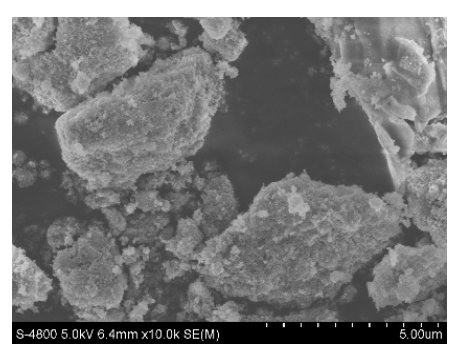


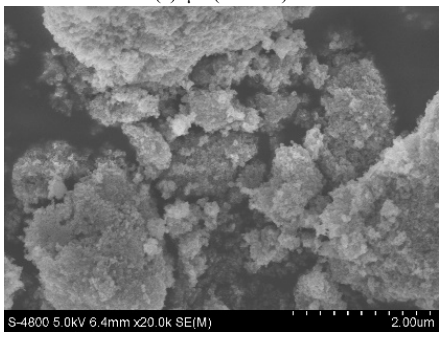
图 3 不同温度下反应前后 XRD 表征图谱 Fig.3 XRD characterization map at different reaction temperatures

2.1.3 微观形貌 $Ce-W/TiO_2$ 催化剂在不同放大 倍率下的 SEM 图像如图 4 所示,在 $5\mu m(\times 10000$ 倍) 的放大倍数下,可以观察到催化剂为密实的块状结构.在 $2\mu m(\times 20000$ 倍)、 $1\mu m(\times 50000$ 倍)的放大倍

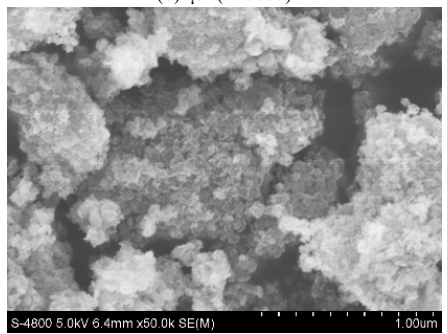
数下,可观察到 CeO_2 和 WO_3 在催化剂载体表面分布较为均匀,呈绒状小颗粒分散,并未出现大规模团聚,因此 XRD 未检测出 CeO_2 和 WO_3 的晶体态矿相结构.



(a)5µm(×10000)



(b)2µm(×20000)



(c)1µm(×50000)

图 4 SEM 显微结构 Fig.4 SEM micrograph

2.1.4 程序升温脱附 表 2 为几种 Hg 标准化合物的热脱附(TPD)结果^[24].如图 5 所示,280℃反应后样品的脱附曲线在220℃处有明显的脱附峰,脱附峰的温度区间为 100~300℃,320℃反应后样品的脱附曲线在200℃左右有微弱的脱附峰,而其余反应温度后样品的脱附曲线均没有明显的脱附峰.由表 3 可知,280℃反应后样品中仍存在较多吸附态的汞,而其他3个温度反应后的样品仅存在微量吸附态的汞,并随着反应温度的升高其吸附量降低,不同反应温度后样品中汞的吸附形式均为 HgCl₂.

表 2 标准汞化合物释放峰值温度及温度区间
Table 2 Standard mercury compound release peak temperature and temperature range

汞化合物	峰值温度(℃)	温度区间(℃)
$HgCl_2$	210±5	$90 \sim 305$
Hg_2Cl_2	131±9, 227±5	$85 \sim 308$
黑色 HgS	216±2, 256±8	$170\sim310$
Hg_2SO_4	323±7	$200\sim425$
红色 HgS	351±5	$300\sim380$
HgO	527±10	$460\sim550$
$HgSO_4$	567±15	$500 \sim 600$

注:数据来源于文献[24].

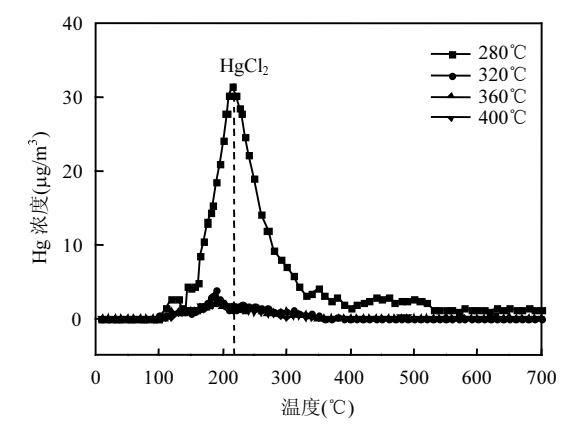


图 5 不同温度反应后催化剂 TPD 曲线 Fig.5 TPD curve of catalyst at different temperature

2.1.5 XRF表面元素分析 由表 3 可知,初始样品表面 Cl 元素含量为 0.017%,随着模拟烟气中 HCl 浓度的升高,反应后催化剂表面 Cl 元素的含量逐渐升高后趋于稳定,HCl 浓度升高到 10×10⁻⁶ 后催化剂表面 Cl 元素含量升高为 0.060%,随着 HCl 浓度的继续升高,催化剂表面 Cl 含量略微降低并稳定于 0.056%左右.此外,初始样品表面 S 元素含量为 0.567%,当通入 SO₂ 反应后催化剂表面 S 元素含量增加到 0.869%.

表 3 不同 HCI 浓度反应前后催化剂中 CI 元素含量(%)
Table 3 Cl element content of catalyst before and after reaction with different HCl concentration(%)

HCl 浓度(×10 ⁻⁶)								
0	3	10	20	30				
0.024	0.046	0.060	0.059	0.053				

2.1.6 NH₃-TPD 如图 6 所示,原始催化剂在 315, 490℃处有 2 个 NH₃ 脱附峰值,相较原始催化剂,工况 8 反应后 NH₃ 脱附峰面积略微减小,同时 NH₃ 脱附峰 值降低为 410℃;而工况 9 反应后 NH₃ 脱附峰面积大 大提高,在 380,520 °C有 2 处明显的 NH₃ 脱附峰.说明 通入 30×10^{-6} HCl 会减弱催化剂的表面酸性;而通入 600×10^{-6} SO₂ 可以增强催化剂的表面酸性^[25].

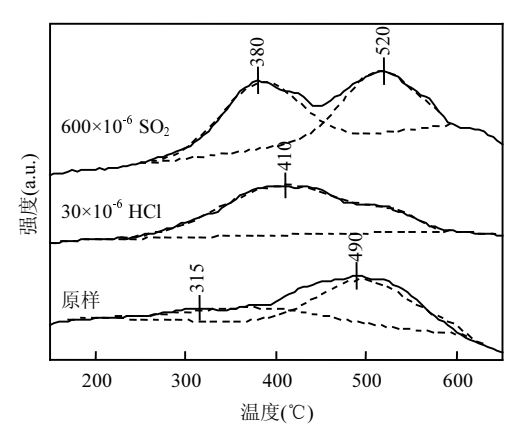


图 6 不同烟气组分反应前后 NH₃-TPD 曲线 Fig.6 NH₃-TPD curve before and after reaction of different gas components 虚线为拟合分峰

2.2 温度对脱硝协同脱汞的影响

在 280~400℃(工况 1~4)的温度区间下 Ce-W/ TiO2 催化剂的脱硝效率和脱汞效率如图 7 所示,温度 对该催化剂脱硝效率影响显著,随着温度的升高脱硝 效率由 47%升高至 78%,脱硝反应过程符合 Elev-Riadeal 机理并受化学反应步骤控制^[26].温度由 280℃ 升高至 320℃时脱硝效率的增幅(19%)相较由 320℃ 到 400℃的增幅(每 40℃的增幅分别为 4%、8%)较大, 这是由于 Ce 基催化剂可以促进 NO 转化成 NO2[27], 在反应温度较低时 NH3 与 NO2 和 HCl 反应生成 NH4NO3或 NH4Cl 占据表面活性位点并堵塞催化剂 的孔道使NH3浓度降低^[20],同时较低的温度Hg⁰更容 易吸附于催化剂表面与 SCR 反应竞争活性位点,导 致 280℃反应温度下的脱硝效率骤降.王渊^[28]、Xu 等[19]在模拟烟气气氛下也发现 Ce-Ti 催化剂在 250~400℃温度范围内,催化剂的脱硝效率随温度升 高而升高,与本文实验结果有较好的一致性.

温度对脱汞效率的影响较为特殊,由 TPD 结果可知,部分 Hg 以 HgCl₂ 的形式吸附于 280℃反应后的样品表面.温度由 280℃升高至 320℃,反应温度高于 HgCl₂ 脱附温度区间的最高值,吸附的 Hg 发生脱附,Hg 与催化剂表面结合的活性位点减少,抑制了Hg⁰ 的氧化反应^[29],脱汞效率由 62%降低为 52%;后

随着温度的继续升高,提供了充足的 Hg^0 氧化所需的能量并加快了反应速率,脱汞效率在 360 ℃达到最大值 63%;当温度继续升高到 400 ℃后,吸附态的 Hg 大量脱附,同时脱硝效率达到最大值,SCR 过程与 Hg^0 竞争吸附催化剂表面的活性位点,脱汞效率降低 至最低值(50%).

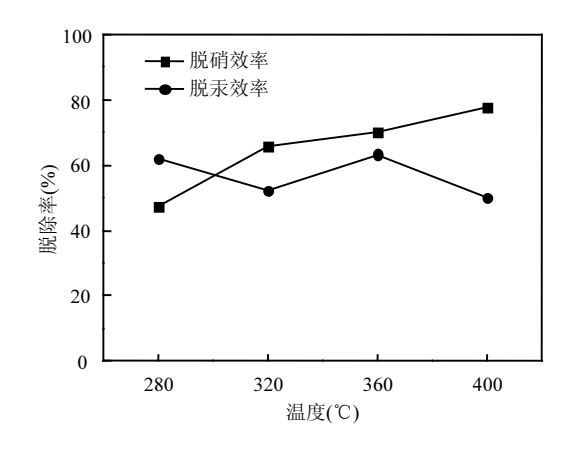


图 7 温度对脱硝效率和脱汞效率的影响 Fig.7 Effect of Temp. on NO and Hg removal efficiency

2.3 HCl 对脱硝协同脱汞的影响

由上述分析可知, $Ce-W/TiO_2$ 催化剂在 360 ℃时的脱汞效率(63%)最高,脱硝效率 70% 仅次于 400 ℃下的 78%,故本文选取 360 ℃为基准温度分析模拟烟气中 HCl 浓度以及 SO_2 对催化剂脱汞效率及脱硝效率的影响(工况 3,5~9).

如图 8 所示,HCl 浓度为 0 时脱硝效率为 61%, 随着 HCl 浓度升高至 10×10⁻⁶ 时脱硝效率达到了最大值(81%).这是由于在弱酸性气体环境下,H⁺增多可增加催化剂表面的 Brønsted 活性位进而提高脱硝效率^[30].但脱硝效率随着 HCl 浓度的继续升高而降低,由表 4 可知催化剂表面 Cl 元素浓度达到了最高值,同时从图 6 可知,30×10⁻⁶HCl(工况 8)反应后,催化剂表面酸性位点减弱,说明催化剂表面 Cl 元素吸附饱和与 NH₃ 竞争吸附催化剂表面的活性位点,降低NH₃ 的吸附量,同时吸附态的 HCl 会与 NH₃ 反应生成铵盐,降低了烟气中 NH₃ 的浓度,从而抑制脱硝反应的进行.

模拟烟气气氛下当 HCl 浓度为 0 时脱汞效率仅为 24%,通入 HCl 后脱汞效率迅速增加在 HCl 浓度为 10×10⁻⁶ 时达到了 93%,随着 HCl 浓度的继续升高脱汞效率稳定于 94%左右(图 8),表明 HCl 对 Hg⁰的

氧化起着非常重要的作用.表 4 显示初始样品表面 Cl 元素含量很低,随着 HCl 浓度的升高,催化剂表面 Cl 元素的含量也逐渐升高,HCl 浓度达到 10×10⁻⁶ 后催化剂表面 Cl 元素的吸附量达到最高并趋于稳定.由此分析脱汞效率与 Cl 元素在催化剂表面吸附量的趋势相同,可得出 HCl 可提供大量吸附态的 Cl,进而增加 Hg⁰ 在催化剂表面的吸附量,而 Ce-W/TiO₂对 Hg⁰ 的氧化过程符合 Mars-Maessen 机理^[31],吸附态的 Hg⁰越多氧化效率越好,故 HCl 浓度越高脱汞效率越高.

39卷

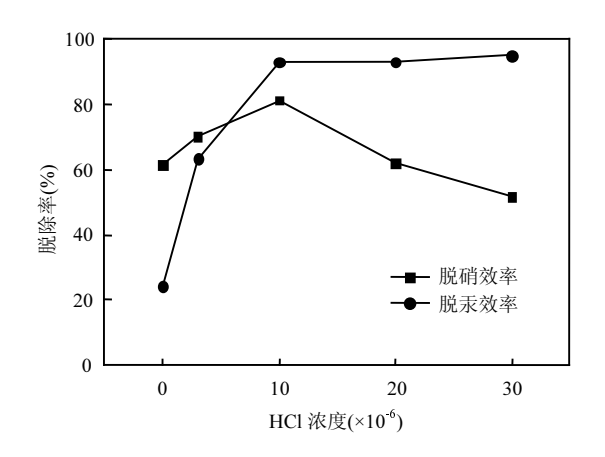


图 8 HCl 浓度对脱硝效率以及脱汞效率的影响 Fig.8 Effect of HCl on NO and Hg removal efficiency

2.4 SO₂ 对脱硝协同脱汞的影响

抗硫性是衡量商业催化剂的一项重要指标、在 上述模拟烟气气氛下,通过加入 600×10⁻⁶SO₂(工况 3,9)来探究 SO2对 Ce-W/TiO2催化剂脱硝脱汞效率 的影响.由图 9 可知,通入 SO₂后,催化剂的脱汞效率 降低,说明 SO2 对该催化剂汞的脱除有抑制作用.本 文结果与Li等[9]研究SO。对脱汞反应的影响效果相 反,但与王渊^[28]SO₂ 对脱汞效率的影响结果相同.这 是由于本文的基准温度与前者的基准温度(200℃) 差距较大,而与后者的基准温度(400℃)相近,说明反 应温度不同,SO2对催化剂脱汞效率的影响效果也 不相同.由 XRF 结果可知通入 SO2后催化剂表面 S 元素由 0.567%增加到 0.869%,推测 SO₂ 与催化剂表 面活性组分发生了不可逆中毒反应,进而抑制了Hg⁰ 的氧化率.刘海岩[18]研究证实,在 275~ 400℃温度区 间内 SO₂ 会和 Ce 发生不可逆反应生成 Ce₂(SO₄)3, 阻碍了 Ce⁴⁺和 Ce³⁺之间的自由转化,导致催化剂的 失活.

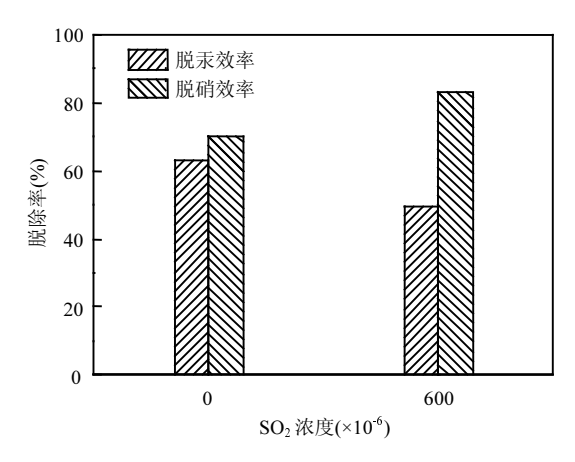


图 9 SO₂ 对脱硝效率以及脱汞效率的影响 Fig.9 Effect of SO₂ on NO and Hg removal efficiency

相反, SO_2 对该催化剂的脱硝效率有促进作用,通入 SO_2 后脱硝效率由 70%升高到 83%,这可能是由于 W 元素可增加催化剂的表面酸性 $[^{20}]$,由图 6 可知,通入 $600\times10^{-6}SO_2$ 后催化剂表面酸性提高,推测催化剂表面可不稳定地吸附 SO_2 与 H_2O 共同作用形成弱酸环境,增加了样品表面的 Brønsted 活性位点,从而提高催化剂表面对 NH_3 的捕获能力并提升催化剂的氨容量 $[^{30}]$;另一方面 SO_2 会在催化剂表面形成 $[SO_4^{2^-}]$ 等含氧官能团,而含氧官能团增多可吸附更多的 NH_3 ,有利于 SCR 反应的进行 $[^{32}]$.

2.5 Hg⁰氧化机理分析

Ce 作为催化剂中重要的活性组分,能够在氧化 还原环境下表现出较强的储存与释放氧的能力, Ce^{4+}/Ce^{3+} 的价态变化有利于 Hg^{0} 的催化反应过程. Granite 等[31]提出的 Mars-Maessen 机理认为 Hg⁰首 先吸附在金属氧化物的表面,然后被晶格氧化剂组 分(如晶格氧 O*与卤族元素等共同作用)所氧化,反 应后金属氧化物表面产生的氧空位可由气相的 O₂ 提供的氧原子进行补充或再生,使金属氧化物晶体 结构得到还原持续保持其氧化作用.本文基于 Mars-Maessen 机理以及前人的研究[9,28,31],得出该催 化剂表面汞的吸附和氧化反应过程如式 3~8 所示, 模拟烟气中 HCl 首先吸附于催化剂表面的活性位 点,Hg⁰ 再与吸附态的 Cl 相互作用吸附于催化剂表 面,催化剂表面 Ce4+向 Ce3+的价态变化先后将 Hg0 氧化为 Hg⁺与 Hg²⁺,模拟烟气中的 O₂ 再将 Ce³⁺氧化 为 Ce^{4+} ,最终生成 $HgCl_2$ 和 H_2O ,以此循环完成对 Hg^0 的氧化脱除.由上述实验结果分析:Ce-W/TiO2对 Hg⁰ 的脱除作用为先吸附再氧化,在低温时吸附(反

应式 3~4)占主导地位,而高温时氧化反应化学能(反应式 5~7)占主导地位.

$$HCl(g) \rightarrow HCl(ads)$$
 (3)

$$Hg^{0}(ads) + Cl^{-}(ads) + Ce^{4+} \rightarrow HgCl(ads) + Ce^{3+}$$
 (4)

$$HgCl(ads) + Cl^{-}(ads) + Ce^{4+} \rightarrow HgCl_{2}(ads) + Ce^{3+}$$
 (5)

$$H^{+} + \frac{1}{4}O_{2} + Ce^{3+} \rightarrow Ce^{4+} + \frac{1}{2}H_{2}O$$
 (6)

$$HgCl_2(ads) \rightarrow HgCl_2(g)$$
 (7)

3 结论

- 3.1 Ce-W/TiO₂ 催化剂主要由中孔与大孔组成且 无微孔存在.活性组分CeO₂和WO₃是以高度分散的 形式附着于载体表面,催化剂晶型稳定,不受反应条 件的影响.
- 3.2 280~400℃温度区间内,脱硝效率随温度升高而升高,最高可达 78%;Ce-W/TiO₂ 对 Hg⁰ 的脱除过程为先吸附再氧化,在低温时吸附作用占主导地位其吸附形式为 HgCl₂,而在高温时氧化作用占主导地位.在 SCR 气氛下,Ce-W/TiO₂SCR 催化剂具有良好的脱硝协同脱汞性能,在 360℃时兼具最好的脱硝与脱汞效率.
- 3.3 SCR 气氛下 HCl 浓度越高 Ce-W/TiO₂ 表面 Cl 元素含量越高,越有利于 Hg⁰ 的氧化脱除,同时较低的 HCl 浓度也对脱硝效率有促进作用,而 HCl 高于 10×10^{-6} 后催化剂表面酸性减弱,对脱硝效率有抑制作用.通入 600×10^{-6} 的 SO₂ 可使 Ce-W/TiO₂ 表面酸性增强,有利于 SCR 反应的进行;但表面 S 元素含量增加,对 Hg⁰ 的氧化脱除有抑制作用.

参孝文献

- [1] You C F, Xu X C. Coal combustion and its pollution control in China [J]. Energy, 2010,35(11):4467-4472.
- [2] Wang S, Zhang L, Zhao B, et al. Mitigation potential of mercury emissions from coal-fired power plants in China [J]. Energy & Fuels, 2012,26(8):4635-4642.
- [3] 姚明宇,聂剑平,张立欣,等.燃煤电站锅炉烟气污染物一体化协同治理技术 [J]. 热力发电, 2016,45(3):8-12.
 Yao M Y, Nie J P, Zhang L X, et al. Integrative flue-gas pollutants removal technology for coal-fired utility boiler [J]. Thermal Power Generation. 2016,45(3):8-12.
- [4] GB 13223-2011 火电厂大气污染物排放标准 [S].
 GB 13223-2011 Emission standard of air pollutants for thermal power plants [S].
- [5] DB31/933-2015 大气污染物综合排放标准 [S]. DB31/933-2015 Air pollutant release standard [S].

- 1426
- [6] Senior C L, Helble J J, Sarofim A F. Emissions of mercury, trace elements, and fine particles from stationary combustion sources [J]. Fuel Processing Technology, 2000,65(00):263-288.
- [7] Yamaguchi A, Akiho H, Ito S. Mercury oxidation by copper oxides in combustion flue gases [J]. Powder Technology, 2008,180(1/2):222-226.
- [8] 董晓真.同时脱硝脱汞催化剂研究进展 [J]. 山东化工, 2016,(19):
 - Dong X Z. Research and development of denitrification and demereuration catalysts [J] Shandong Chemical Industry, 2016,(19):58-59.
- [9] Li H, Wu C, Li Y, et al. CeO2-TiO2 catalysts for catalytic oxidation of elemental mercury in low-rank coal combustion flue gas [J]. Environmental Science & Technology, 2011,45(17):7394-7400.
- [10] Benson S A, Laumb J D, Crocker C R. Adsorption of mercury vapor on the surface of activated carbons modified by oxidation or iodization [J]. Fuel Processing Technology, 2005,86(5):577-613.
- [11] 张安超,张洪良,宋 军,等. Mn-Co/MCM-41 吸附剂表征及脱除烟 气中单质汞研究 [J]. 中国环境科学, 2015,35(5):1319-1327.
 - Zhang A C, Zhang H L, Song J, et al. Characterization and performance of Mn-Co/MCM-41 for elemental mercury removal from simulated flue gas [J]. China Environmental Science, 2015,35(5):1319-1327.
- [12] 高 鹏,向 军,张安超.壳聚糖吸附剂脱除燃煤模拟烟气中汞的试 验研究 [J]. 中国环境科学, 2010,30(6):733-737. Gao P, Xiang J, Zhang A C. Experiment of macromolecular chitosan adsorbent to remove element mercury in the simulative flue gas of coal combustion [J]. China Environmental Science, 2010,30(6):733-737.
- [13] 王 靓,黄亚继,关正文,等.商用 SCR 催化剂氧化汞性能实验研究 [J]. 环境科学与技术, 2017,42(7):147-151.
 - Wang L, Huang Y J, Guan Z W, et al. Experimental study on mercury oxidation efficiencies of commercial SCR catalyst [J]. Environmental Science & Technology, 2017,42(7):147-151.
- [14] 陈亚南.Mo-Mn/TiO₂ 催化剂脱硝脱汞的实验研究 [D]. 南京:东南 大学, 2017.
 - Chen Y N. Experimental study of denitrification and demercuration by Mo-Mn/TiO₂ catalysts [D]. Nanjing: Southeast University, 2017.
- [15] 胡 鹏,段钰锋,陈亚南,等. Mo-Mn/TiO2 催化剂的协同脱硝脱汞特 性 [J]. 中国环境科学, 2018,38(2):523-531.
 - Hu P, Duan Y F, Chen Y N, et al. Characteristics of denitrification and mercury removal by Mo-Mn/TiO2 catalysts [J]. China Environmental Science. 2018,38(2):523-531.
- [16] Zhang J, Li C, Zhao L, et al. A sol-gel Ti-Al-Ce-nanoparticle catalyst for simultaneous removal of NO and Hg⁰ from simulated flue gas [J]. Chemical Engineering Journal, 2017,313:1535-1547.
- [17] Fan X, Li C, Zeng G, et al. The effects of Cu/HZSM-5on combined removal of Hg⁰ and NO from flue gas [J]. Fuel Processing Technology, 2012,104:325-331.
- [18] 刘海岩.铈基脱硝催化剂的研究 [D]. 北京:北京化工大学, 2017. Liu H Y. Study on Ce-based catalysts for the removal of NO_x [D]. Beijing: Beijing University of Chemical Technology, 2017.
- [19] Xu W, Yu Y, Zhang C, et al. Selective catalytic reduction of NO by NH3 over a Ce/TiO2 catalyst [J]. Catalysis Communications, 2008, 9(6):1453-1457.

- [20] Ma Z, Wu X, Feng Y, et al. Effects of WO3 doping on stability and N2O escape of MnOx-CeO2 mixed oxides as a low-temperature SCR catalyst [J]. Catalysis Communications, 2015,69:188-192.
- [21] 邱 枫.Ce 基催化剂在烟气低温 NH3-SCR 中脱硝性能的研究 [D]. 北京:北京化工大学, 2016.
 - Qiu F. The study of Ce-based catalysts in low temperature NH3-SCR DeNO_x [D]. Beijing: Beijing University of Chemical Technology, 2016.
- [22] Zhou Q, Duan Y, Hong Y, et al. Experimental and kinetic studies of gas-phase mercury adsorption by raw and bromine modified activated carbon [J]. Fuel Processing Technology, 2015,134:325-332.
- [23] Xie Y C, Tang Y Q. Spontaneous monolayer dispersion of oxides and salts onto surfaces of supports: applications to heterogeneous catalysis [M]//Advances in catalysis. Academic Press, 1990,37:1-43.
- [24] 朱振武.脱硫石膏中有害痕量元素再释放机理研究 [D]. 北京:清华 大学, 2017.
 - Zhu Z W. Research on the re-emission mechanism of toxic trace elements in FGD gypsum [D]. Beijing: Tsinghua University, 2017.
- [25] Liu R, Xu Y, Ye F, et al. Influence of transition metal (Fe, Co, and Ag) doping on the MnO_x-CeO₂/Ti-bearing blast furnace slag catalyst for selective catalytic reduction of NO_x with NH₃ at low temperature [J]. New Journal of Chemistry, 2017,41(19):11299-11307.
- [26] Lu P, Li C, Zeng G, et al. Low temperature selective catalytic reduction of NO by activated carbon fiber loading lanthanum oxide and ceria [J]. Applied Catalysis B: Environmental, 2010,96(1/2):157-161.
- [27] Wu Z, Jin R, Liu Y, et al. Ceria modified MnO_x/TiO₂ as a superior catalyst for NO reduction with NH3 at low-temperature [J]. Catalysis Communications. 2008,9(13):2217-2220.
- [28] 王 渊.铈钛 SCR 催化剂脱硝脱汞一体化的研究 [D]. 武汉:华中科 技大学, 2015.
 - Wang Y. Simultaneous removal of NO and mercury over CeO2-TiO2 catalysts in SCR [D]. Wuhan: Huazhong University of Science & Technology, 2015.
- [29] Yan R, Liang D T, Tsen L, et al. Bench-scale experimental evaluation of carbon performance on mercury vapour adsorption [J]. Fuel, 2004, 83(17/18):2401-2409.
- [30] 徐程峙,辜 敏.V2O5/AC 中温 SCR 催化剂的制备及其脱硝性能研 究 [J]. 炭素技术, 2015,34(4):37-41.
 - Xu C Z, Gu M. Study on the preparation and denitrification performance of V₂O₅/AC medium temperature SCR catalyst [J]. Carbon Techniques. 2015,34(4):37-41.
- [31] Granite E J, Pennline H W, Hargis R A. Novel sorbents for mercury removal from flue gas [J]. Industrial & Engineering Chemistry Research, 2000,39(4):1020-1029.
- [32] 朱崇兵,金保升,李 锋,等.SO2 氧化对 SCR 法烟气脱硝的影响 [J]. 锅炉技术, 2008,(3):68-72.
 - Zhu C B, Jin B S, Li F, et al. Effect of SO2 oxidation on SCR-DeNOx [J]. Boiler Technology, 2008,(3):68-72.
- 作者简介: 耿新泽(1995-),男,山西晋中人,东南大学博士研究生,主要从 事燃煤烟气多种污染物治理技术研究.发表论文 2 篇.